

(HUANJING KEXUE)

ENVIRONMENTAL SCIENCE

第35卷 第9期

Vol.35 No.9

2014

中国科学院生态环境研究中心 主办

斜学出版社出版



ENVIRONMENTAL SCIENCE

第35卷 第9期 2014年9月15日

目 次

长江三角洲地区霾判别方法的对比分析	0.)
长江二用初地区建刊加力法的对比分别	9)
1980~2012 年江苏省城市霾日的时空分布及成因分析 刘端阳,魏建苏,严文莲,吕军,孙燕(324'	7)
万里关大气二氧化碳和甲烷时间变化特征	6)
上海地区 DM 由方扣陽和三字牌亦作性在及中海公托 业龄化 工方士 封集數 鬼鬼棍 本根 即工本 从连续 (200	2)
上海城区 FM ₂ 5 中有机城州九条城交 化特性及木脉力机	3)
亚青会期间南京市气溶胶中 OC 和 EC 的粒径分布 ····································	1)
无锡市冬季典型天气 PM. 中碳组分的污染特征 ············ 云龙龙 陆钒 张天舒 伍德侠 感世杰 陆亦怀 刘建国(328)	0)
市的体研工生如晒影物 DM 排放电热人工 艺育有 对亚丽 对头户 恋似的 互熟更 工程电 工工 第 (200	7)
高炉炼铁工艺细颗粒物 PM _{2.5} 排放特性分析 范真真,赵亚丽,赵浩宁,梁兴印,孙静雯,王保贵,王亚军(328)	1)
重庆市北碚城区大气中 VOCs 组成特征研究 祁心,郝庆菊,吉东生,张军科,刘子锐,胡波,王跃思,江长胜(329)	3)
双组分 VOCs 的催化氧化及动力学分析	2)
海东排进却细微岭粉冰府再经汉源性红的守卧研究	<u>-</u> /
八干排放超细域性数体及及性性值付性的关系切开。	9)
疏勒河上游地表水水化学主离子特征及其控制因素	5)
"加公民以源扎脚"业中面高手扩展会系统的数据法担托通导。 医毛虻 医纸孔 乌奶斑 曾语利 电吹顺 维护 印海(220)	£ \
十江河南湖的乃甘江海河口五人居穴间入左乃污氿河及	<i>(</i>)
人过何恐怕权及共进两何口里並属至间分争及行案计划	0)
一种加岸区仍快物-小乔面昌介温及气态氮的样放过佳和通量	6)
北京奧林匹克公园地表颗粒物粒度特征分析 李海燕,石安邦,瞿杨晟,岳靖淋(335)	2)
黄河丰巨河和柳山米一岭蓝龙夕复晚至水亚公东	0)
奥西农区仍然物中天一幅天夕敦软本外干万和	0)
合肥城郊典型源头溪流不同渠迫形态的氮磷滞留特值 李如忠, 杨继伟, 钱靖, 童玉红, 唐丈坤(336)	5)
基干水资源调度的平原河网区城市河道氮迁移转化研究 · · · · · · · · · · · · · · · · · · ·	
刘波,盛明,朱强,杨霜,檀炳超,范冉,南旭军,何茂阳,王国祥(337)	2)
从 及,	3)
杭州湾潮滩湿地植物不同分解过程及其磷素动态 ····································	1)
基于数据同化的太湖叶绿素多模型协同反演 李渊,李云梅,吕恒,朱利,吴传庆,杜成功,王帅(338)	9)
天然日光辐照下两江交汇处溶解性有机质(DOM)光漂白过程:以涪江-嘉陵江为例····································	- /
人然自儿相思下两江文在处谷胜往有忧灰(DOM)儿宗口过往:以行江-萧陵江为例	
	7)
利用紫外-可见吸收光谱估算三峡库区消落带水体、土壤和沉积物溶解性有机质(DOM)浓度 ····································	
李璐璐,江韬,卢松,闫金龙,高洁,魏世强,王定勇,郭念,赵铮(3408	0 \
子姆姆, 江阳, 广松, 门金龙, 间泊, 观巴强, 江水为, 沙沙, 沙沙, 沙沙,	0)
Cu ₂ O-Ag-AgBr/MA 可见光催化剂的制备及其降解 2-氯苯酚的研究 ····································	7)
不同粒径零价铁活化过硫酸钠氧化降解酸性橙 7 的影响及动力学研究 ······	
李办帝 互入自 五營	2)
子从族, // 金水, 与巨人, 奥约省, 土地, 外侧传(342.	2)
还原脫氯-生物联合降解 2,4-二氯本氧乙酸 周红艺,曾忠忠,梁忠,韩鉴(3430	0)
多介质土壤滤层系统(MSL)与潜流式人工湿地技术处理海水养殖废水的效能比较 ····································	
李欢旋,万金泉,马邕文,黄明智,王艳,陈杨梅(3422) 还原脱氯-生物联合降解 2,4-二氯苯氧乙酸 李欢旋,万金泉,马邕文,黄明智,王艳,陈杨梅(3422)	6)
多介质土壤滤层系统(MSL)与潜流式人工湿地技术处理海水养殖废水的效能比较	6)
多介质土壤滤层系统(MSL)与潜流式人工湿地技术处理海水养殖废水的效能比较 宋颖,黄玉婷,葛川,张浩,陈昕,张志剑,罗安程(3436不同碳源在污水处理过程中的变化规律研究 ·························· 金鹏康,常晋,王先宝,刘柯君,王晓昌(3446	6) 3)
多介质土壤滤层系统(MSL)与潜流式人工湿地技术处理海水养殖废水的效能比较 宋颖,黄玉婷,葛川,张浩,陈昕,张志剑,罗安程(3436)不同碳源在污水处理过程中的变化规律研究 金鹏康,常晋,王先宝,刘柯君,王晓昌(3445)气升装置对厌氧氨氧化反应器脱氮效能的影响 李祥,张大林,黄勇,陈宗姮,袁怡(3446)	6) 3) 9)
多介质土壤滤层系统(MSL)与潜流式人工湿地技术处理海水养殖废水的效能比较 宋颖,黄玉婷,葛川,张浩,陈昕,张志剑,罗安程(3436不同碳源在污水处理过程中的变化规律研究 金鹏康,常晋,王先宝,刘柯君,王晓昌(3445气升装置对厌氧氨氧化反应器脱氮效能的影响 李祥,张大林,黄勇,陈宗垣,袁怡(3445年) 李祥,张大林,黄勇,陈宗垣,袁怡(3445年) 李祥,张大林,黄勇,陈宗垣,袁怡(345年) 李祥,张大林,黄勇,陈宗垣,袁怡(345年)	6) 3) 9)
多介质土壤滤层系统(MSL)与潜流式人工湿地技术处理海水养殖废水的效能比较 宋颖,黄玉婷,葛川,张浩,陈昕,张志剑,罗安程(3436不同碳源在污水处理过程中的变化规律研究 金鹏康,常晋,王先宝,刘柯君,王晓昌(3445年) 金鹏康,常晋,王先宝,刘柯君,王晓昌(3445年) 金鹏康,常晋,王先宝,刘柯君,王晓昌(3445年) 金鹏康,常晋,王先宝,刘柯君,王晓昌(3445年) 金融,张大林,黄勇,陈宗姮,袁怡(3445年) 345年 刘启宝,倪晓棠,魏源送,佟娟,王亚炜(345年) 345年 147年 147年 147年 147年 147年 147年 147年 147	6) 3) 9) 5)
不同碳源在污水处理过程中的变化规律研究	6) 3) 9)
不同碳源在污水处理过程中的变化规律研究 金鹏康,常晋,王先宝,刘柯君,王晓昌(344)	6) 3) 9)
不同碳源在污水处理过程中的变化规律研究 金鵬康,常晋,王先宝,刘柯君,王晓昌(344:气升装置对厌氧氨氧化反应器脱氮效能的影响 李祥,张大林,黄勇,陈宗矩,袁怡(344:微波及其组合工艺强化污泥厌氧消化研究 刘吉宝,倪晓棠,魏源送,佟娟,王亚炜(345:"热水解-高温厌氧消化"工艺处理高含固率剩余污泥的中试研究 吴静,王广启,曹知平,李中华,胡玉瑛,王凯军,左剑恶(346:污水处理厂尾水细菌群落结构分析 吴鹏,陆爽君,徐乐中,刘捷,沈耀良(346:污水处理厂尾水细菌群落结构分析 徐爱玲,任杰,宋志文,吴等等,夏岩(347:沼液养殖钝顶螺旋藻的中试研究 国青青,刘锐,罗金飞,王根荣,陈吕军,刘矣(348:内源呼吸过程溶解性代谢产物的光谱特性分析 李志华,引起丽,张芹,刘毅,贺春博(349:S-异丙甲草胺与镉对斜生栅藻光合作用的影响 陈彩东,胡晓娜,章小强,刘惠君(349:影响浑太河流域鱼类群落结构的不同尺度环境因子分析 李志华,自旭丽,张芹,刘毅,贺春博(349:影响浑太河流域鱼类群落结构的不同尺度环境因子分析 李老华,自旭丽,张芹,刘毅,贺春博(352:Fontibacter sp. SgZ-2 厌氧腐殖质/Fe(Ⅲ)还原特性及电子传递机制研究 马文华,张玮,顾琬雯,张瑞雷,王丽卿(351:Fontibacter sp. SgZ-2 厌氧腐殖质/Fe(Ⅲ)还原特性及电子传递机制研究 艾建超,王宁,杨净(353:石河子市土壤环境磁学特征及空间分布研究 杨海,熊黑钢,陈学刚(353:不同施磷量(KH,PO₄)作用对 Cu、Zn 在红壤中的迁移转化 郭亮,李忠武,黄斌,王艳,张艳(354	6) 3) 9) 5) 1) 6) 3) 7) 2) 8) 4) 3) 2) 0) 7)
不同碳源在污水处理过程中的变化规律研究 金鹏康、常晋,王先宝、刘柯君,王晓昌(344、气升装置对厌氧氨氧化反应器脱氮效能的影响 李祥,张大林,黄勇,陈宗姮,袁怡(344、微波及其组合工艺强化污泥厌氧消化研究 刘吉宝,倪晓棠,魏源送,佟娟,王亚炜(345、"热水解-高温厌氧消化"工艺处理高含固率剩余污泥的中试研究 吴静,王广启,曹知平,李中华,胡玉瑛,王凯军,左剑恶(346、污水处理厂尾水细菌群落结构分析 吴鹏,陆爽君,徐乐中,刘捷,沈耀良(346、污水处理厂尾水细菌群落结构分析 发寒,生物产者,有多个,在杰,宋志文,吴等等,夏岩(347、沼液养殖钝顶螺旋藻的中试研究 国青青,刘锐,罗金飞,王根荣,陈吕军,刘矣(348、内源呼吸过程溶解性代谢产物的光谱特性分析 李志华,张芹,白旭丽,刘毅(348、基于呼吸图谱的自养菌与异养菌内源呼吸过程分析 李志华,由旭丽,张芹,刘毅,贺春博(349、S-异丙甲草胺与镉对斜生栅藻光合作用的影响 陈彩东,胡晓娜,章小强,刘惠君(349、影响浑太河流域鱼类群落结构的不同尺度环境因子分析 李志华,自旭丽,张芹,刘毅,贺春博(349、影响浑太河流域鱼类群落结构的不同尺度环境因子分析 李艳利,李艳粉,徐宗学(350、河口区新建河道轮虫群落演替及与水环境的关系 马文华,张玮,顾琬雯,张瑞雷,王丽卿(351、Fontibacter sp. SgZ-2 厌氧腐殖质/Fe(Ⅲ)还原特性及电子传递机制研究 马晨,杨贵芹,陆琴,周顺桂(352、基于 UNMIX 模型的夹皮沟金矿区土壤重金属源解析 艾建足,于宁、为是,为贵,为贵,则,陈学刚(353、不同施磷量(KH,PO₄)作用对 Cu、Zn 在红壤中的迁移转化 郭亮,李忠武,黄斌,王艳,张艳(3546、硫素对水稻吸收砷的生物有效性及其在十壤中形态影响 杨世杰,唐冰培、王代长、饶伟、张亚楠、王丹、朱云集(3556、硫素对水稻吸收砷的中物有效性及其在十壤中形态影响 杨世杰,唐冰培、王代长、饶伟、张亚楠、王丹、朱云集(3556、硫素对水稻吸收砷的中物有效性及其在十壤中形态影响 杨世杰,唐冰培、王代长、饶伟、张亚楠、王丹、朱云集(3555	66) 33) 99) 55) 11) 166) 33) 77) 22) 88) 44) 33) 77) 66) 33)
不同碳源在污水处理过程中的变化规律研究 金鹏康、常晋,王先宝、刘柯君,王晓昌(344、气升装置对厌氧氨氧化反应器脱氮效能的影响 李祥,张大林,黄勇,陈宗姮,袁怡(344、微波及其组合工艺强化污泥厌氧消化研究 刘吉宝,倪晓棠,魏源送,佟娟,王亚炜(345、"热水解-高温厌氧消化"工艺处理高含固率剩余污泥的中试研究 吴静,王广启,曹知平,李中华,胡玉瑛,王凯军,左剑恶(346、污水处理厂尾水细菌群落结构分析 吴鹏,陆爽君,徐乐中,刘捷,沈耀良(346、污水处理厂尾水细菌群落结构分析 发寒,生物产者,有多个,在杰,宋志文,吴等等,夏岩(347、沼液养殖钝顶螺旋藻的中试研究 国青青,刘锐,罗金飞,王根荣,陈吕军,刘矣(348、内源呼吸过程溶解性代谢产物的光谱特性分析 李志华,张芹,白旭丽,刘毅(348、基于呼吸图谱的自养菌与异养菌内源呼吸过程分析 李志华,由旭丽,张芹,刘毅,贺春博(349、S-异丙甲草胺与镉对斜生栅藻光合作用的影响 陈彩东,胡晓娜,章小强,刘惠君(349、影响浑太河流域鱼类群落结构的不同尺度环境因子分析 李志华,自旭丽,张芹,刘毅,贺春博(349、影响浑太河流域鱼类群落结构的不同尺度环境因子分析 李艳利,李艳粉,徐宗学(350、河口区新建河道轮虫群落演替及与水环境的关系 马文华,张玮,顾琬雯,张瑞雷,王丽卿(351、Fontibacter sp. SgZ-2 厌氧腐殖质/Fe(Ⅲ)还原特性及电子传递机制研究 马晨,杨贵芹,陆琴,周顺桂(352、基于 UNMIX 模型的夹皮沟金矿区土壤重金属源解析 艾建足,于宁、为是,为贵,为贵,则,陈学刚(353、不同施磷量(KH,PO₄)作用对 Cu、Zn 在红壤中的迁移转化 郭亮,李忠武,黄斌,王艳,张艳(3546、硫素对水稻吸收砷的生物有效性及其在十壤中形态影响 杨世杰,唐冰培、王代长、饶伟、张亚楠、王丹、朱云集(3556、硫素对水稻吸收砷的中物有效性及其在十壤中形态影响 杨世杰,唐冰培、王代长、饶伟、张亚楠、王丹、朱云集(3556、硫素对水稻吸收砷的中物有效性及其在十壤中形态影响 杨世杰,唐冰培、王代长、饶伟、张亚楠、王丹、朱云集(3555	66) 33) 99) 55) 11) 166) 33) 77) 22) 88) 44) 33) 77) 66) 33)
不同碳源在污水处理过程中的变化规律研究 金鹏康、常晋,王先宝、刘柯君,王晓昌(344、气升装置对厌氧氨氧化反应器脱氮效能的影响 李祥,张大林,黄勇,陈宗姮,袁怡(344、微波及其组合工艺强化污泥厌氧消化研究 刘吉宝,倪晓棠,魏源送,佟娟,王亚炜(345、"热水解-高温厌氧消化"工艺处理高含固率剩余污泥的中试研究 吴静,王广启,曹知平,李中华,胡玉瑛,王凯军,左剑恶(346、污水处理厂尾水细菌群落结构分析 吴鹏,陆爽君,徐乐中,刘捷,沈耀良(346、污水处理厂尾水细菌群落结构分析 发寒,生物产者,有多个,在杰,宋志文,吴等等,夏岩(347、沼液养殖钝顶螺旋藻的中试研究 国青青,刘锐,罗金飞,王根荣,陈吕军,刘矣(348、内源呼吸过程溶解性代谢产物的光谱特性分析 李志华,张芹,白旭丽,刘毅(348、基于呼吸图谱的自养菌与异养菌内源呼吸过程分析 李志华,由旭丽,张芹,刘毅,贺春博(349、S-异丙甲草胺与镉对斜生栅藻光合作用的影响 陈彩东,胡晓娜,章小强,刘惠君(349、影响浑太河流域鱼类群落结构的不同尺度环境因子分析 李志华,自旭丽,张芹,刘毅,贺春博(349、影响浑太河流域鱼类群落结构的不同尺度环境因子分析 李艳利,李艳粉,徐宗学(350、河口区新建河道轮虫群落演替及与水环境的关系 马文华,张玮,顾琬雯,张瑞雷,王丽卿(351、Fontibacter sp. SgZ-2 厌氧腐殖质/Fe(Ⅲ)还原特性及电子传递机制研究 马晨,杨贵芹,陆琴,周顺桂(352、基于 UNMIX 模型的夹皮沟金矿区土壤重金属源解析 艾建足,于宁、为是,为贵,为贵,则,陈学刚(353、不同施磷量(KH,PO₄)作用对 Cu、Zn 在红壤中的迁移转化 郭亮,李忠武,黄斌,王艳,张艳(3546、硫素对水稻吸收砷的生物有效性及其在十壤中形态影响 杨世杰,唐冰培、王代长、饶伟、张亚楠、王丹、朱云集(3556、硫素对水稻吸收砷的中物有效性及其在十壤中形态影响 杨世杰,唐冰培、王代长、饶伟、张亚楠、王丹、朱云集(3556、硫素对水稻吸收砷的中物有效性及其在十壤中形态影响 杨世杰,唐冰培、王代长、饶伟、张亚楠、王丹、朱云集(3555	66) 33) 99) 55) 11) 166) 33) 77) 22) 88) 44) 33) 77) 66) 33)
不同碳源在污水处理过程中的变化规律研究	66) 33) 99) 55) 11) 66) 33) 60) 77) 22) 88) 44) 23) 44) 42)
不同碳源在污水处理过程中的变化规律研究	66) 3) 99) 55) (1) (6) 33) (7) (2) (8) (4) (3) (7) (6) (3) (4) (4) (4) (4) (4) (4) (4) (4
不同碳源在污水处理过程中的变化规律研究	66) 33) 99) 55) 11) 66) 33) 60) 77) 22) 88) 44) 23) 44) 42)
不同碳源在污水处理过程中的变化规律研究	66) 33) 99) 55) 11) 66) 33) 60) 77) 22) 88) 44) 23) 44) 42)
不同碳源在污水处理过程中的变化规律研究	66) 33) 99) 55) 11) 66) 33) 60) 77) 22) 88) 44) 23) 44) 42)
不同碳源在污水处理过程中的变化规律研究 金廳康、常晋,王先宝,刘柯君,王晓昌(344)	66) 33) 99) 55) 11) 66) 33) 60) 77) 22) 88) 44) 23) 44) 42)

温度对 ABR-MBR 复合工艺处理生活污水的影响及其 微生物群落分析

吴鹏1,陆爽君1,徐乐中1,刘捷1,沈耀良1,2*

(1. 苏州科技学院环境科学与工程学院,苏州 215009; 2. 苏州科技学院江苏省环境科学与工程重点实验室,苏州 215009) 摘要:将厌氧折流板反应器(ABR)与膜生物反应器(MBR)优化组合(CAMBR)用于处理实际生活污水,研究温度对该反应器处理效能的影响,并采用变性梯度凝胶电泳(DGGE)技术对其内部微生物群落结构进行分析.试验水力停留时间为 7.5 h、混合液回流比 R1 为 200%, R2 为 50%、pH 为 6.5~8.5、溶解氧 3 mg·L⁻¹左右.控制 3 个温度梯度;中温(25℃ ±5℃),低温(10℃ ±5℃),高温(35℃ ±5℃).结果表明系统稳定运行后,温度对系统去除 COD 的影响很小,COD 的去除效果很好.中温和高温环境,系统出水水质较好,TN 平均去除率为 70%,出水平均浓度为 9 mg·L⁻¹,TP 平均去除率为 73%,出水平均浓度低于 0.8 mg·L⁻¹. 低温环境,TN 平均去除率仅为 57%,出水平均浓度为 15 mg·L⁻¹; TP 平均去除率降至 67%,出水平均浓度为 1 mg·L⁻¹. DGGE 图谱表明,整个试验过程,系统内微生物类群保持多样性分布,同时优势菌群突出;在同一时期内,各反应池菌群相似性较高,但各隔室微环境的改变使得 ABR 和 MBR 内微生物菌群结构仍存在明显差异,强化了 ABR 和 MBR 的各自功能,有效保证了系统脱氮除磷效果.

关键词: 厌氧折流板反应器; 膜生物反应器; 生活污水; 温度; 种群分析

中图分类号: X172; X703.1 文献标识码: A 文章编号: 0250-3301(2014)09-3466-07 DOI: 10.13227/j. hjkx. 2014. 09. 031

Effects of Temperature on Combined Process of ABR and MBR for Domestic Sewage Treatment and Analysis of Microbial Community

WU Peng¹, LU Shuang-jun¹, XU Yue-zhong¹, LIU Jie¹, SHEN Yao-liang^{1,2}

(1. School of Environmental Science and Engineering, Suzhou University of Science and Technology, Suzhou 215009, China; 2. Jiangsu Key Laboratory of Environmental Science and Engineering, Suzhou University of Science and Technology, Suzhou 215009, China)

Abstract: Effects of temperature on the combined process of ABR and MBR (CAMBR) for domestic sewage treatment were investigated and the changes in the bacterial community structure were analyzed by PCR-DGGE technique. The HRT, recycle ratio 1, recycle ratio 2, pH and DO were 7.5 h, 200%, 50%, 6.5 ~ 8.5 and 3 mg·L⁻¹, respectively. The temperature were controlled at three gradients: middle (25°C±5°C), low (10°C±5°C) and high (35°C±5°C). The results showed that the change of temperature had little influence on COD removal, and the CAMBR in stable state showed good performance in COD removal. In addition, the CAMBR achieved good effluent quality in middle or high temperature environment, and the average TN removal efficiency was 73% with the effluent TP below 0.8 mg·L⁻¹. For the process operated in low temperature environment, the average TN removal efficiency was only 57% with an effluent TN of 15 mg·L⁻¹, and the average TP removal efficiency as only 57% with an effluent TN of 15 mg·L⁻¹, and the average TP removal efficiency was only 57% with an effluent TN of 15 mg·L⁻¹. DGGE analysis indicated that throughout the process, the microbial population within the system maintained its diversity in distribution, while the dominant flora was prominent. During the same period, microbial populations in each compartment were similar. However, the structure of microbial community had significant differences between the ABR and the MBR due to the change of microenvironment in each compartment. Thus, the contributions of the ABR and the MBR were intensified, guaranteeing the efficiency of nitrogen and phosphorus removal in the system.

Key words: anaerobic baffled reactor; membrane bioreactor; domestic sewage; temperature; microbial analysis

当前,研究和开发经济高效的生物脱氮除磷技术,有效去除生活污水中的氮、磷等营养物质,是控制水体富营养化和保证水质安全的关键^[1].为此,基于 ABR 具有微生物相有效分离且易于形成颗粒化污泥以及 MBR 具体高污泥截留和出水水质好的特点,本课题组将 ABR 和 MBR 进行优化组合构建新型反应器(CAMBR),并首次将其应用于生活污水

的脱氮除磷研究,取得了较好的处理效果[2].

温度是影响活性污泥系统脱氮除磷效果的关

收稿日期: 2014-01-09; 修订日期: 2014-04-08

基金项目: 江苏省高校自然科学研究重大项目(12KJA610002); 苏州市环保科技项目(B20130502)

作者简介: 吴鵬(1985 ~),男,博士,讲师,主要研究方向为废水生物 处理,E-mail;wupengniu@ 126. com

^{*} 通讯联系人, E-mail; ylshen@ mail. usts. edu. cn

键因素之一^[3,4]. 微生物在其最适生长温度下活性最强,生长速率快,而当温度高于或低于该温度时,其活性均会下降,影响反应器脱氮除磷效果及其稳定性. 在前期研究基础上^[2],结合四季温度变化情况,为 CAMBR 能在实际环境中运行应用,故对其在不同温度条件下处理实际污水脱氮除磷性能进行研究并结合 PCR-DGGE 技术对其内部微生

物群落结构进行分析,揭示 CAMBR 脱氮除磷机制.

1 材料与方法

1.1 试验水质

试验进水水质为苏州市某高校生活小区污水, 一天中水质变化如表1所示.

表 1 某高校生活小区污水水质 $/ \mathrm{mg} \cdot \mathrm{L}^{-1}$

Table 1 Water quality of domestic wastewater in a university/mg·L⁻¹

项目	COD	$\mathrm{NH_4^+}$ -N	TN	TP
范围	107. 5 ~ 313. 9	9. 3 ~ 27. 7	13.7 ~46.8	0. 52 ~4. 13
平均值	206. 2	16. 7	26. 3	2. 11

1.2 试验流程及装置

CAMBR 由三隔室 ABR、好氧池和膜池组成,有效容积分别为8.6、2.7 和3.1 L,如图1 所示. ABR 内接种污泥取自苏州市某城市污水处理厂的重力浓缩池,总接种泥量约为各隔室有效体积的 3/5,各隔室悬浮污泥(MLSS) 约为 28 g·L⁻¹; 好氧池和膜池内的接种污泥取自苏州市某污水处理厂的氧化沟,投入量占各隔室有效体积的 1/2, MLSS 约为 7.5 g·L⁻¹,挥发性悬浮污泥(MLVSS)/MLSS 约为 0.45,控制系统总 HRT 为 10 h,用生活污水填满各隔室,闲置1 d 后开始连续进水. 好氧池中布设穿孔管,通过曝气为活性污泥供氧及对膜进行擦洗,延缓膜污染. 系统设置两个泥水混合液回流(R1 为 200%,R2 为 50%),实现厌氧反硝化脱氮,厌氧释磷,反硝化除磷及好氧吸磷和硝化功能,最终通过

排泥实现除磷. MBR 由自吸泵间歇抽吸出水,抽吸周期为 12 min (包括 10 min 抽吸和 2 min 反冲洗).整个系统采用可编程逻辑控制器(PLC)进行恒定水位、出水泵和反冲洗泵的启闭的自动控制.通过在线监测仪实时监控 ABR 和好氧池的 DO、pH 值. 试验选用的膜组件为 PVDF 帘式中空纤维微滤膜,膜孔径为 0.1 μm,过滤面积为 0.15 m²,采用真空压力表监测跨膜压差(TMP)变化,观察膜的污染状况,当 TMP 增至 40 kPa 时对膜组件进行化学清洗.

1.3 试验方案

取接种污泥和启动结束后污泥(90 d),另分别取3个温度段最后一天的污泥共5个污泥样品用于DGGE分析. 102 d时(见表2),在CAMBR每个隔室采取污泥样品用于DGGE分析.

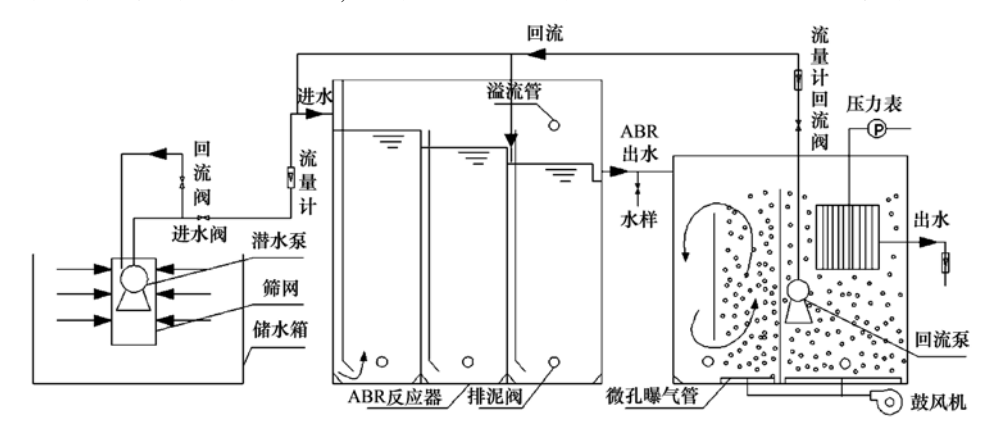


图 1 CAMBR 反应器示意

Fig. 1 Schematic diagram of CAMBR

1.4 监测方法

 $COD \setminus NH_4^+ - N \setminus NO_3^- - N \setminus NO_2^- - N \setminus TN$ 和 TP 等常规指标均采用国家标准方法[5].

PCR-DGGE 分析方法: 污泥样品的预处理、

DNA 提取和 PCR 扩增:将 10 mL 污泥样品离心 10 min (转速3 500 r·min⁻¹)后弃去上清液,然后保存于 -20℃的环境用于后续分析使用. 采用蛋白酶 K-CTAB 法破碎、裂解细胞对样品中 DNA 进行提取,

具体方法见文献[6]. 用于 PCR 扩增的细菌 16S rDNA通用引物为 GC341f(5'-CGCCCGCCGCG GGAGGCAGCAG-3') 和 907r (5'-CCGTCAATTCCT TTGAGT TT-3'),PCR 扩增条件为:首先95℃变性5

min,然后 95℃变性 40 s,55℃ 退火 50 s,72℃ 延伸 50 s,循环 35 次,最后在 72℃ 保持 10 min,最终于 4℃保温^[7]. DGGE 分析:取 30 μL PCR 扩增产物在 DCode System (Bio-Rad, USA)上进行电泳,详细步 骤见文献[7].

试验运行条件

Table 2	Operation	conditions	of	CAMBR

工况	时间/d -		HRT/h		- SRT/d	R1, R2/%	好氧池溶解氧	温度/℃
上:00	այ իսյ∕ α —	ABR	MBR	合计	SR1/ a	N1, N2/%	/mg·L ⁻¹	血皮/ C
1	1 ~ 90	6	4	10	20	200, 50	3	25
2	91 ~ 102	4. 5	3	7. 5	20	200, 50	3	25
3	103 ~ 121	4. 5	3	7. 5	20	200, 50	3	25 ±5(中温)
4	122 ~ 147	4. 5	3	7.5	20	200, 50	3	10 ±5(低温)
5	148 ~ 173	4. 5	3	7.5	20	200, 50	3	35 ±5(高温)

2 结果与讨论

2.1 对 COD 的去除效果

整个试验过程中进水 COD 为 260~330 $mg \cdot L^{-1}$, COD 随时间变化的去除效果如图 2 所示. 中温阶段, ABR 对 COD 去除率达 60%, 其出水 COD 浓度低于 112 mg·L⁻¹. CAMBR 对 COD 的去除率达 到90%以上,系统出水 COD 浓度低于 26 mg·L-1. 当温度降低至低温阶段, ABR 对 COD 的去除效果 骤降, COD 去除率仅有 40%, 出水浓度高达 166 mg·L⁻¹,系统对 COD 的去除能力也显著降低,COD 去除率仅有66%,出水浓度高达90 mg·L-1,这与温 度的骤降导致微生物活性降低,其生长代谢能力减 弱有关[8]. 随着反应器的运行,微生物逐渐适应了 环境温度的变化,系统对 COD 的去除效果有所好转 并趋于稳定,最终稳定在89%左右,出水浓度在31 mg·L-1左右. 当温度突然升高到 35℃,由于微生物 没有适应环境温度的突变, ABR 对 COD 的去除效 果显著降低,其出水 COD 浓度高达 160 mg·L⁻¹,系 统对 COD 的去除率也仅有 75%, 出水浓度达到了 75 mg·L-1. 随着微生物对环境的适应, ABR 对 COD 的去除效果逐渐增强,系统对 COD 的去除能 力也逐渐增强并趋于稳定,最终 COD 平均去除率稳 定在90%, 出水平均浓度为28 mg·L-1. 由试验可 知,CAMBR 对温度变化的适应能力较强,并能较快 地恢复有机物去除能力.

2.2 对NH₄ -N的去除效果

整个试验过程中系统随时间变化对NH,⁺-N的 去除效果如图 3 所示. 系统进水NH4 -N浓度为 17~ 30 mg·L⁻¹. 中温阶段,虽然进水NH₄⁺-N浓度波动较 大,但是系统出水NH₄+-N浓度维持在 0.7 mg·L-1以

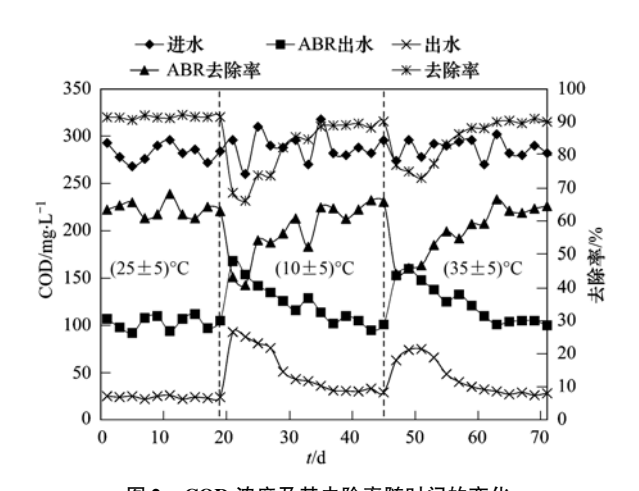


图 2 COD 浓度及其去除率随时间的变化

Fig. 2 Changes of concentration and removal rate of COD with time

下,去除效果良好,去除率达96%. 这与中温阶段最 适合硝化细菌的生长繁殖,活性强,硝化速率高[9], 可有效利用NH4+N有关,所以能取得很好的去除 效果.

当温度骤降进入低温阶段,由于低温环境不利 于硝化细菌的生长,其活性明显受到抑制[10],系统 出水NH₄ -N浓度显著上升,高达 10.9 mg·L⁻¹,其去 除效果明显降低,去除率仅有60%. 随着反应器的 运行,硝化细菌逐渐适应低温环境,其活性有所增 强. 另外,由于SRT 较长及 MBR 膜组件对污泥的截 留作用,系统内污泥维持在较高浓度,有利于硝化菌 的生长富集[11],使得NH₄-N去除率有所上升,达到 71% 左右, 出水NH₄ -N平均浓度为 7 mg·L⁻¹.

当温度突然上升至高温阶段,由于硝化细菌对 于环境温度的突变极度不适应,其活性受到抑制,系 统出水NH₄ -N浓度明显上升,达 11 mg·L⁻¹,其去除 率显著降低,仅有58%. 随着微生物对高温环境的 适应,系统对NH,+N的去除能力显著增强并趋于稳 定,最终 NH_4^+ -N去除率达到 89% 左右,出水 NH_4^+ -N 平均浓度为 2.5 $mg \cdot L^{-1}$.

虽然 ABR 内有机氮被转化为NH₄⁺-N,由于混合液的回流稀释作用,ABR 出水NH₄⁺-N浓度仍有所降低. 3 个阶段中,中温阶段系统NH₄⁺-N去除效果最好,高温阶段次之,低温阶段最差,表明为取得较好的NH₄⁺-N去除效果,系统应维持在 10° C以上,尽量减小低温对硝化菌的抑制作用.

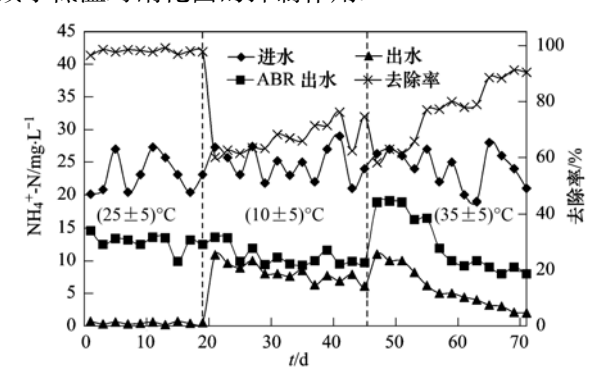


图 3 NH₄ - N浓度及其去除率随时间的变化

Fig. 3 Changes of concentration and removal rate of NH_4^+ -N with time

2.3 对 TN 的去除效果

整个试验过程中随时间变化 CAMBR 对 TN 的 去除效果如图 4 所示. 可知系统进水 TN 为 28~41 mg·L-1. 由于中温条件最适合硝化细菌的生长繁 殖,其活性也较高,系统内NH,+-N在好氧池和膜池 内几乎被完全转化为NO; -N和NO; -N,系统出水 TN 平均浓度为 9.3 mg·L⁻¹, TN 平均去除率为 71%. 膜池内泥水混合液经回流至 ABR1 号隔室, NO; -N 和NO, -N经 ABR 内反硝化细菌作用转化为 N, 而得 以去除. ABR 出水 TN 浓度为 14 mg·L⁻¹左右, TN 去除率平均为58%. 由此可知,ABR 去除了大部分 TN. 另外,好氧池和膜池对 TN 的去除率约为 13%, 这可能由于膜组件高效截留污泥的作用,膜池内维 持了较高的污泥浓度,并且混合不均匀产生了同步 硝化反硝化作用[12],强化了TN的去除. 另外,膜池 内好氧微生物利用氮源生长代谢合成自身细胞吸收 部分 TN,通过排泥也减少了部分 TN.

当温度降到低温阶段,由于低温条件对硝化菌活性产生抑制作用,NH₄⁺-N转化为NO₃⁻-N和NO₂⁻-N的效果很不理想,回流混合液中NO₃⁻-N和NO₂⁻-N浓度很低,并且低温条件下反硝化速率显著降低^[13],导致反硝化效果较差,进而导致系统 TN 去除效果也很差.另外,微生物在低温条件下生长繁殖缓慢,

氮素代谢合成利用减缓. 随反应器的运行,微生物对低温环境也逐渐适应,随 NH_4^+ -N转化率的提高,TN 去除率也有所提高,最终稳定在 57% 左右,出水浓度为 15 $mg \cdot L^{-1}$ 左右,其中,ABR 对 TN 的去除率达 53%.

由于温度的骤升,高温阶段初期随NH₄⁺-N转化率的骤降,系统 TN 去除效果明显降低,TN 去除率仅有 40%,出水 TN 浓度高达 19 mg·L⁻¹. 随着反应器的运行,微生物对温度的骤变逐渐适应,NH₄⁺-N转化率逐渐提高,系统出水 TN 去除率也逐步提高,最终升高至 70% 左右,出水浓度为 9 mg·L⁻¹左右,其中,ABR 对 TN 的去除率达 60%.

整个试验过程中,TN 和NH $_{4}^{+}$ -N的去除率变化趋势基本类似. 中温和高温阶段 TN 去除效果相差不大,而低温阶段较差. 好氧池和膜池在不同阶段对TN 的去除贡献为:中温 > 高温 > 低温,同样表明为取得较好的 TN 去除效果,CAMBR 应维持在 10° C以上,减小低温对微生物的抑制作用.

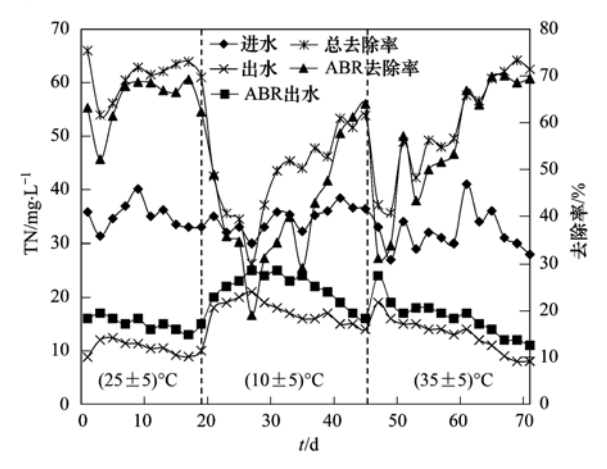


图 4 TN 浓度及其去除率随时间的变化

Fig. 4 Changes of concentration and removal rate of TN with time

2.4 对 TP 的去除效果

整个试验过程中 CAMBR 随时间变化对 TP 的 去除效果如图 5 所示. 系统进水 TP 浓度为 2.4~3.3 mg·L⁻¹. 整个运行过程中,系统 TP 去除率与厌氧释磷量呈良好的正相关性; ABR2 号隔室 TP 浓度显著高于进水浓度,表明 ABR2 号隔室内聚磷菌释磷充分; ABR 出水 TP 浓度显著降低表明 ABR3 号隔室内反硝化除磷菌吸收了部分 TP,有效保证了系统的除磷效果[14,15],但仍显著高于进水浓度; 在好氧池和膜池内聚磷菌进一步过量吸磷后,最终以剩余污泥的形式排出系统,实现磷的去除.

中温阶段,系统内微生物活性最高,有机物能充分降解为小分子有机酸,ABR内聚磷菌释磷充分,

反硝化除磷菌也能充分吸磷,好氧池和膜池聚磷菌过量吸磷能力最强,TP可被有效去除,系统出水TP平均浓度为0.4 mg·L⁻¹,去除率达到87%左右.

当温度降低到低温阶段,微生物活性受到抑制, ABR 内聚磷菌释磷能力减弱[16],反硝化除磷菌吸磷 能力降低,好氧池和膜池内聚磷菌过量吸磷能力也 受到抑制,系统除磷效果明显下降,去除率骤降至 38%. 随着反应器的运行,系统内微生物对低温环 境逐渐适应,ABR 内聚磷菌释磷能力、反硝化除磷 菌吸磷能力和好氧池、膜池内聚磷菌过量吸磷能力 同步有所增强,TP的去除率也稳步回升,最终系统 TP 去除率稳定在 67% 左右, 出水 TP 平均浓度为 1 $mg \cdot L^{-1}$. 系统在低温环境下能够较好地除磷,与低 温条件下 PAOs 相比聚糖菌(GAOs)能较多地利用 VFAs、抑制聚糖菌对除磷系统的不利影响密切相 关[17]. 另外,缺氧反硝化除磷也提高了系统的除磷 效能[18]. 此外,复合系统对于环境变化有较强的抗 冲击能力,也使得 CAMBR 在低温环境能取得较好 的除磷效果.

当温度从低温阶段急剧上升至高温阶段,由图 5 可知,ABR 内聚磷菌释磷能力、反硝化除磷菌吸磷能力、好氧池和膜池内聚磷菌过量吸磷能力均显著下降、系统 TP 去除率骤降至 38%,出水 TP 浓度高达 1.9 mg·L⁻¹,其原因是环境温度的骤变导致微生物活性下降;虽然温度上升,PAOs 释磷速率增加但吸磷速率降低^[19].系统经过 24 d 的运行,其内部微生物逐渐适应了高温环境,ABR 内聚磷菌释磷能力、反硝化除磷菌吸磷能力、好氧池和膜池内聚磷菌过量吸磷能力均得到不同程度的回升,但仍低于中温条件下的除磷效果,这与高温条件下 GAOs 在吸收基质方面相比 PAOs 更具优势有关^[17],最终系统 TP 去除率达到 73%,出水 TP 平均浓度为 0.8

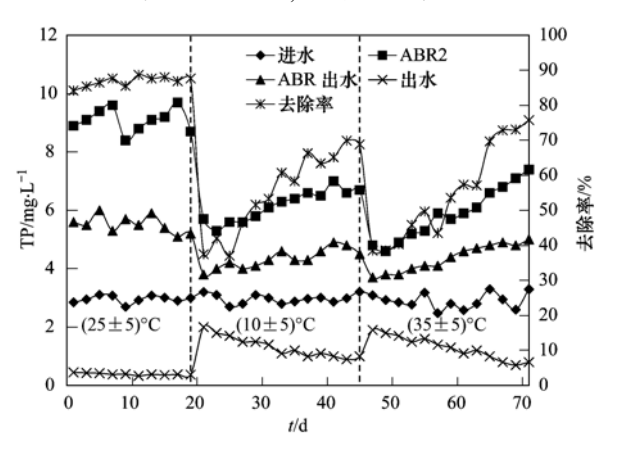


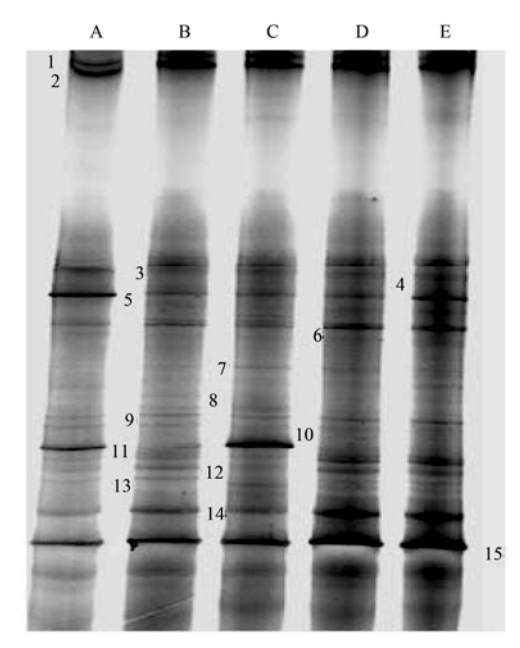
图 5 TP 浓度及其去除率随时间的变化

Fig. 5 Changes of concentration and removal rate of TP with time

mg·L⁻¹. 相比其他高温条件下强化除磷系统除磷效率急剧下降,甚至崩溃的研究^[20],CAMBR 在高温环境仍具有稳定较好的出水. 其原因是 ABR 特殊的结构具有相分离的功能^[21],使不同厌氧微生物在不同的隔室最适条件下生长,并呈现出了良好的种群分布,强化其原有功能,有利于 ABR 内聚磷菌释磷能力,反硝化除磷菌吸磷能力,好氧池和膜池内聚磷菌过量吸磷能力的充分发挥.

3 CAMBR 反应器 DGGE 图谱分析

脱氮除磷反应器中微生物菌群结构复杂,呈多 样性分布[22,23]. 采用一些非培养的研究方法(如 DGGE、FISH、T-RFLP、醌谱和克隆文库技术等方 法)对生物脱氮除磷反应器中菌群的研究表明:反 应器内微生物菌群呈高度多样性分布,并且多种脱 氮除磷功能菌群共同发挥脱氮除磷的功效. DGGE 图谱中每一个条带代表着一个细菌种属,而同一图 谱中的对应条带的密度则可代表此菌种的丰度. 由 图 6 可知, CAMBR 在不同运行条件下, 能够维持多 种微生物的存在,使其共同发挥脱氮除磷的功能. 另外,根据生态学中的"多样性导致稳定性原理", 物种多样化具有稳定生态系统的功能特征[24],可知 CAMBR 中微生物菌群呈多样性分布有利于反应器 获得稳定的脱氮除磷效果. 生物脱氮除磷反应器中 微生物菌群呈多样性分布的同时优势菌群突出[25]. 微生物菌群的多样性有利于系统的稳定,同时反应



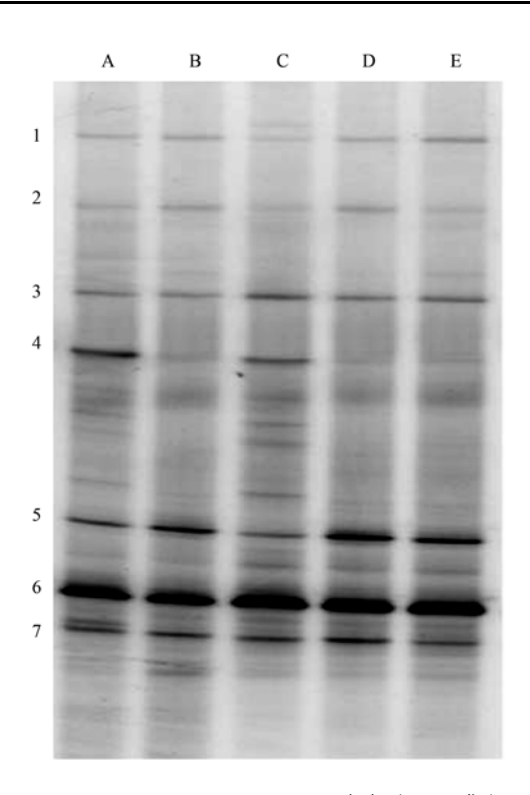
A. 接种污泥; B. 启动; C. 中温; D. 低温; E. 高温 **图 6** 污泥样品的 **DGGE** 凝胶图谱

Fig. 6 DGGE profiles of 16S rDNA fragments of the sludge samples

器中优势菌群的种类、数量则可能直接关系到反应 器功能的强弱. 从图 6 可以看出 CAMBR 在不同运 行条件下菌群结构有所变化,微生物菌群呈多样性 分布的同时,优势菌群也格外明显. 部分在接种污 泥中存在的微生物,随着反应器运行条件的改变而 逐渐被淘汰,A泳道内优势细菌5号和11号在启动 过程中逐渐减弱,最终失去优势地位,并且11号优 势细菌在后面 4 个时期内几乎不存在. 条带 6 和 14 在接种污泥内并非优势菌种,经过不同运行条件的 适应,在后期逐渐演替为优势菌种,说明这些细菌 能很好地适应系统环境. 同时,15 号条带对应的 细菌种属随着反应器的运行逐渐成为顶级优势菌 种,对提高污水处理效果起到了至关重要的作用. 伴随 CAMBR 内菌群结构的不断变化,不同条件下 其脱氮除磷效果也不断得到增强,最终系统运行 稳定,出水水质较好. 由此可见,CAMBR 内菌群结 构的变化直接关系到反应器脱氮除磷功能的发 挥. 当反应器从中温变为低温和高温后,4、6、14 和15号条带对应的细菌种属随着反应器的运行 逐渐处于优势地位. 由于反应器温度从恒温 (25°C) 变为中温(25°C±5°C), 运行过程中温度 出现明显波动,此时 10 号条带所代表的菌种在 C 泳道显示的信号特别强,说明10号菌种在中温 (25℃±5℃)条件下得到了大量繁殖和富集. 同 时1、2、3和15号相对较稳定的功能菌群使得 CAMBR 功能得到了稳定地发挥.

4 CAMBR 不同区域菌群结构分析

CAMBR 不同区域菌群结构如图 7 所示. 可知, 各隔室之间相似性较高,均具有1、2、3、5、6和7 号优势菌属. 这与整个系统存在污泥回流现象、使 得各个隔室内菌群在同一时期能够保持较高的相似 性、微生物菌群结构在相对较短的时间内改变不明 显有关. 而 ABR 内特有的微环境促使各微生物种 属的生理状态发生改变,使得不同微生物在不同隔 室内发挥不同的功能: ABR1 号隔室内反硝化细菌 反硝化脱氮、ABR2 号隔室内聚磷菌厌氧释磷、 ABR3 号隔室内反硝化除磷菌利用硝酸盐反硝化除 磷;而 MBR 发挥聚磷菌好氧吸磷及硝化细菌硝化 作用. 另外, ABR 内特有的 4 号优势菌种与 ABR 底 部尺寸较大的颗粒污泥不参与整个系统的污泥回流 有关,进一步稳定了ABR各隔室的原有功能.可知 各优势菌群功能的耦合有效保证了系统的脱氮除磷 效果.



A. ABR1; B. ABR2; C. ABR3; D. 好氧池; E. 膜池 图 7 第 102 d 不同隔室污泥样品的 DGGE 凝胶图谱 Fig. 7 DGGE profiles of 16S rDNA fragments of sludge samples in different compartments on day 102

5 结论

(1) CAMBR 在不同温度条件下能对实际生活污水进行有效处理,防止环境温度的突变(采取保温措施等)有利于系统获得稳定的除污性能. 环境温度的变化对系统去除 COD 的影响很小,出水 COD均优于《城镇污水处理厂污染物排放标准》(GB 18918-2002)一级 A 标准,出水 TN 优于一级 A 标准,出水 TP 满足一级 B 标准. 试验过程中,系统内微生物类群保持多样性分布,同时优势菌群突出.

(2)在同一时期内,各个反应池菌群相似性较高,但各隔室微环境的改变使得 ABR 和 MBR 内微生物菌群结构仍存在明显差异,强化了 ABR 和 MBR 的各自功能,有效保证了系统脱氮除磷效果. 参考文献:

- [1] 郭云,杨殿海,卢文健.城市污水处理厂氧化沟工艺微生物种群分析[J].环境科学,2012,33(8):2709-2714.
- [2] Wu P, Ji X M, Song X K, et al. Nutrient removal performance and microbial community analysis of a combined ABR-MBR (CAMBR) process [J]. Chemical Engineering Journal, 2013, 232: 273-279.
- [3] 郭昱廷, 彭剑峰, 宋永会, 等. 温度对 ABR 反应器处理效果 和微生物群落结构的影响[J]. 环境科学学报, 2012, **32** (7): 1542-1548.

- [4] 钱苏雯, 王如意, 孙培德. 水温变化对 EBPR 系统除磷效果 响应机制的数值模拟研究[J]. 环境科学学报, 2012, **30** (12): 2420-2429.
- [5] 国家环境保护总局. 水和废水监测分析方法[M]. (第四版). 北京:中国环境科学出版社,2002.
- [6] Yang Z H, Xiao Y, Zeng G M, et al. Comparison of methods for total community DNA extraction and purification from compost [J]. Applied Microbiology and Biotechnology, 2007, 74(4): 918-925.
- [7] Xiao Y, Zeng G M, Yang Z H, et al. Coexistence of nitrifiers, denitrifiers and anammox bacteria in a sequencing batch biofilm reactor as revealed by PCR-DGGE [J]. Journal of Applied Microbiology, 2009, 106(2): 496-505.
- [8] 谷洁, 李生秀, 秦清军, 等. 农业废弃物静态高温堆腐过程中的生物化学变化[J]. 中国农业科学, 2005, **38**(8): 1699-1705
- [9] Kim D, Kim KY, Ryu HD, et al. Long term operation of pilotscale biological nutrient removal process in treating municipal wastewater [J]. Bioresource Technology, 2009, 100 (13): 3180-3884.
- [10] Marsili L S, Giunti L. Fuzzy predictive control for nitrogen removal in biological wastewater treatment [J]. Water Science and Technology, 2002, 45(4-5): 37-44.
- [11] Pollice A, Laera G, Saturno D, et al. Effects of sludge retention time on the performance of a membrane bioreactor treating municipal sewage [J]. Journal of Membrane Science, 2008, 317 (1-2): 65-70.
- [12] Peng Y Z, Ge S J. Enhanced nutrient removal in three types of step feeding process from municipal wastewater [J]. Bioresource Technology, 2011, 102(11): 6405-6413.
- [13] Elefsiniotis P, Li D. The effect of temperature and carbon source on denitrification using volatile fatty acids [J]. Biochemical Engineering Journal, 2006, 28(2): 148-155.
- [14] 陈晓旸, 薛智勇, 肖景霓, 等. 曝气强度对 AOA 膜生物反应

- 器脱氮除磷性能的影响[J]. 环境科学, 2011, **32**(10): 2979-2985.
- [15] 葛士建,彭永臻,曹旭,等. 改良 UCT 分段进水工艺处理生活污水性能优化研究[J]. 环境科学,2011,32(7):2006-2012.
- [16] Helmer C, Kunst S. Low temperature effects on phosphorus release and uptake by microorganisms in EBPR plants [J]. Water Science and Technology, 1998, 37(4-5): 531-539.
- [17] Lopez-Vazquez C M, Song Y I, Hooijmans C M, et al. Short-term temperature effects on the anaerobic metabolism of glycogen accumulating organisms [J]. Biotechnology and Bioengineering, 2007, 97(3): 483-495.
- [18] 刘鹏霄, 张捍民, 王晓琳, 等. MUCT-MBR 工艺反硝化除磷脱氮研究[J]. 环境科学, 2009, **30**(7): 1995-2000.
- [19] Panswad T, Doungchai A, Anotai J. Temperature effect on microbial community of enhanced biological phosphorus removal system [J]. Water Research, 2003, 37(2): 409-415.
- [20] 唐旭光,王淑莹,张婧倩. 温度变化对生物除磷系统的影响 [J]. 化工学报,2011,62(4):1103-1109.
- [21] 沈耀良,王宝贞. 废水生物处理新技术——理论与应用 [M]. (第二版). 北京: 中国环境科学出版社, 2006.
- [22] Seviour R J, Mino T, Onuki M. The microbiology of biological phosphorus removal in activated sludge systems [J]. FEMS Microbiology Review, 2003, 27(1): 99-127.
- [23] Daims H, Nielsen P H, Nielsen J L, et al. Novel Nitrospira-like bacteria as dominant nitrite-oxidizers in biofilms from wastewater treatment plants: diversity and in situ physiology [J]. Water Science and Technology, 2000, 41(4-5): 85-90.
- [24] 罗固源,豆俊峰,吉芳英,等. 螺旋升流式反应器脱氮除磷效果及其特性的研究[J]. 环境科学学报,2004,24(1):15-19
- [25] Liu Y, Zhang T, Fang H H P. Microbial community analysis and performance of a phosphate-removing activated sludge [J]. Bioresource Technology, 2005, 96(11): 1205-1214.

Environmental Science (monthly)

Vol. 35 No. 9 Sep. 15, 2014

CONTENTS

Comparative Analysis Methods of Haze Distinction over Yangtze River Delta Region	n)
Trends of Urban Haze in Jiangsu Province China over the Past 33 Years LIU Duan-yang, WEI Jian-su, YAN Wen-lian, et al. (3247)	
Temporal Variation of Background Atmospheric CO ₂ and CH ₄ at Mount Waliguan, China LIU Peng, ZHANG Guo-qing, WANG Jian-qiong, et al. (3256)	
Characteristics and Sources of Organic Carbon and Elemental Carbon in PM _{2.5} in Shanghai Urban Area ZHANG Yi-hua, WANG Dong-fang, ZHAO Qian-biao, et al. (3263)	
Size Distribution and Characterization of OC and EC in Atmospheric Aerosols During the Asian Youth Games of Nanjing, China	
Pollution Characteristics of Carbonaceous Aerosols in PM _{2.5} During Typical Winter Days in Wuxi City	
Emission Characteristics of PM _{2,5} from Blast Furnace Iron Making	
Composition Characteristics of Atmospheric Volatile Organic Compounds in the Urban Area of Beibei District, Chongqing	
Catalytic Oxidation of Two-component VOCs and Kinetic Analysis BO Long-li, YANG Li, SUN Jian-yu, et al. (3302)	
Ultrafine Particle Number Concentration and Size Distribution of Vehicle Exhaust Ultrafine Particles	
Major Ion Chemistry of Surface Water in the Upper Reach of Shule River Basin and the Possible Controls	
Sediment-water Flux and Processes of Nutrients and Gaseous Nitrogen Release in a China River Reservoir	
Spatial Distribution and Pollution Assessment of Heavy Metals in the Tidal Reach and Its Adjacent Sea Estuary of Daliaohe Area, China ZHANG Lei, QIN Yan-wen, MA Ying-qun, et al. (3336)	,
Chemical Speciation and Risk Assessment of Heavy Metals in the Middle Part of Yarlung Zangbo Surface Sediments	
Analysis of Particle Size Characteristics of Road Sediments in Beijing Olympic Park	
Levels and Distribution of the Dioxin-Like Polychlorinated Biphenyls (PCBs) in the Surface Sediment of the Yellow River	3)
Characteristics of Nitrogen and Phosphorus Retention in Two Different Channel Forms in a Typical Headwater Stream in the Suburb of Hefei City, China	
LI Ru-zhong, YANG Ji-wei, QIAN Jing, et al. (3365	5)
Migration and Transformation of Nitrogen in Urban Stream Located in Plain River-net Area Based on Water Resources Regulation	
LIU Bo, SHENG Ming, ZHU Qiang, et al. (3373	
Decomposition and Phosphorus Dynamics of the Litters in Standing and Litterbag of the Hangzhou Bay Coastal Wetland	
Muti-model Collaborative Retrieval of Chlorophyll a in Taihu Lake Based on Data Assimilation	9)
Photobleaching of Dissolved Organic Matter (DOM) from Confluence of Two Rivers Under Natural Solar Radiation: A Case Study of Fujiang River-Jialingjiang River	
GAO Jie, JIANG Tao, YAN Jin-long, et al. (3397	7)
Using Ultraviolet-Visible (UV-Vis) Absorption Spectrum to Estimate the Dissolved Organic Matter (DOM) Concentration in Water, Soils and Sediments of Typical Water-Level Fluctuation	
Zones of the Three Gorges Reservoir Areas LI Lu-lu_, JIANG Tao, LU Song, et al. (3408	3)
Synthesis of Cu ₂ O-Ag-AgBr/MA Visible Photocatalyst and Its Performance in Degradation of 2-Chlorophenol	7)
Effects of Particle Size of Zero-Valent Iron on the Reactivity of Activating Persulfate and Kinetics for the Degradation of Acid Orange 7	
LI Huan-xuan, WAN Jin-quan, MA Yong-wen, et al. (3422	2)
Degradation of 2,4-D by Combined Catalytic Dechlorination and Biological Oxidation	
Treatment of Marine-Aquaculture Effluent by the Multi-Soil-Layer (MSL) System and Subsurface Flow Constructed Wetland	
Variation of Different Carbon Sources in the Sewage Treatment Process JIN Peng-kang, CHANG Jin, WANG Xian-bao, et al. (3443)	
Effect of Gas-lift Device on Nitrogen Removal Efficiency of ANAMMOX Reactor LI Xiang, ZHANG Da-lin, HUANG Yong, et al. (3449)	
Enhancement for Anaerobic Digestion of Sewage Sludge Pretreated by Microwave and Its Combined Processes LIU Ji-bao, NI Xiao-tang, WEI Yuan-song, et al. (3455)	
Pilot Study of Thermal Treatment/Thermophilic Anaerobic Digestion Process Treating Waste Activated Sludge of High Solid Content WU Jing, WANG Guang-qi, CAO Zhi-ping, et al. (3461	
Effects of Temperature on Combined Process of ABR and MBR for Domestic Sewage Treatment and Analysis of Microbial Community WU Peng, LU Shuang-jun, XU Yue-zhong, et al. (3466	
Microbial Community of Municipal Discharges in A Sewage Treatment Plant	
Pilot-Scale Cultivation of Spirulina plantensis with Digested Piggery Wastewater	
Spectral Characteristics of Soluble Metabolites During Endogenous Respiration Li Zhi-hua, ZHANG Qin, BAI Xu-li, et al. (3487)	
Endogenous Respiration Process Analysis of Heterotrophic Biomass and Autotrophic Biomass Based on Respiration Map Li Zhi-hua, BAI Xu-li, ZHANG Qin, et al. (3492)	
Influence of S-Metolachlor and Cd ²⁺ on Photosynthesis of Scenedesmus obliquus	
Effect of Environmental Factors on Fish Community Structure in the Huntai River Basin at Multiple Scales LI Yan-lin, LI Yan-len, XU Zong-xue (3504)	
Succession of Rotifer Community and Its Relationship with Environmental Factors in a New Estuarial Landscape River, Shanghai	
Anaerobic Reduction of Humus/Fe(III) and Electron Transport Mechanism of Fontibacter sp. SgZ-2	
Source Apportionment of Soil Heavy Metals in Jiapigou Goldmine Based on the UNMIX Model	
Environmental Magnetic Properties and Their Spatial Variability of Topsoil in Shihezi City YANG Han, XIONG Hei-gang, CHEN Xue-gang (3537)	
Effects of Different Amounts of Phosphate Fertilizers on Copper, Zinc Transfer in Red Soil Under the Application of KH ₂ PO ₄	
Influence of Sulfur on the Bioavailability of Arsenic Uptake by Rice (<i>Oryza. sativa</i> L.) and Its Speciation in Soil	
Effects of Sulfur on Transformation of Selenium in Soil and Uptake of Selenium in Rape LIU Xin-wei, DUAN Bi-hui, XIA Quan-jie, et al. (3564)	
Impact of Reclaimed Water Irrigation on Soil Chemical Properties and Culturable Microorganisms	۷)
Influence of Different Slope Position and Profile in Disporopsis pernyi Forest Land on Soil Microbial Biomass and Enzyme Activity in Southwest Karst Mountain of China	0.)
QIN Hua-Jun, HE Bing-Hui, ZHAO Xuan-chi, et al. (3580))
Effects of Different Soil Types on the Foliar δ ¹³ C Values of Common Local Plant Species in Karst Rocky Desertification Area in Central Guizhou Province	- \
DU Xue-lian, WANG Shi-jie, LUO Xu-qiang (3587	
Effect of Carbon Substrate Concentration on N2, N20, NO, CO2 and CH4 Emissions from a Paddy Soil in Anaerobic Condition	
Ability of Typical Greenery Shrubs of Beijing to Adsorb and Arrest PM _{2.5}	
Effects of Chlorides on Cd Transformation in a Simulated Grate Incinerator During Sludge Incineration Process	2)
Spatial Temporal Differentiation of Product-based and Consumption-based CO ₂ Emissions and Balance in the Beijing-Tianjin-Hebei Region; an Economic Input-Output Analysis	
WANG Hao, CHEN Cao-cao, PAN Tao, et al. (3619	
Study on Feasible Emission Control Level of Air Pollutions for Cement Industry	2)

《环境科学》第6届编辑委员会

主 编:欧阳自远

副主编:赵景柱 郝吉明 田 刚

编 委: (按姓氏笔画排序)

万国江 王华聪 王凯军 王绪绪 田 刚 田 静 史培军

朱永官 刘志培 汤鸿霄 陈吉宁 孟 伟 周宗灿 林金明

欧阳自远 赵景柱 姜 林 郝郑平 郝吉明 聂永丰 黄 霞

黄耀 鲍强潘纲潘涛魏复盛

环龙种草

(HUANJING KEXUE)

(月刊 1976年8月创刊) 2014年9月15日 第35卷 第9期

ENVIRONMENTAL SCIENCE

(Monthly Started in 1976)
Vol. 35 No. 9 Sep. 15, 2014

		,			
主	管	中国科学院	Superintended	by	Chinese Academy of Sciences
主	办	中国科学院生态环境研究中心	Sponsored	by	Research Center for Eco-Environmental Sciences, Chinese
协	办	(以参加先后为序)			Academy of Sciences
		北京市环境保护科学研究院	Co-Sponsored	by	Beijing Municipal Research Institute of Environmental
		清华大学环境学院			Protection
主	编	欧阳自远			School of Environment, Tsinghua University
编	辑	《环境科学》编辑委员会	Editor-in -Chief	•	OUYANG Zi-yuan
>m	7-4	北京市 2871 信箱(海淀区双清路	Edited	by	The Editorial Board of Environmental Science (HUANJING
		18号,邮政编码:100085)			KEXUE)
		电话:010-62941102,010-62849343			P. O. Box 2871, Beijing 100085, China
		传真:010-62849343			Tel:010-62941102,010-62849343; Fax:010-62849343
		E-mail; hjkx@ rees. ac. cn			E-mail; hjkx@ rcees. ac. cn
		http://www.hjkx.ac.cn			http://www. hjkx. ac. cn
出	版	4 星 虫 版 社	Published	by	Science Press
щ	742	北京东黄城根北街 16 号			16 Donghuangchenggen North Street,
		邮政编码:100717			Beijing 100717, China
印刷装	ŧ订	北京北林印刷厂	Printed	by	Beijing Bei Lin Printing House
发	行	斜望出版社	Distributed	by	Science Press
		电话:010-64017032			Tel:010-64017032
		E-mail: journal@ mail. sciencep. com			E-mail:journal@mail.sciencep.com
订 购	处	全国各地邮电局	Domestic		All Local Post Offices in China
国外总统	发行	中国国际图书贸易总公司	Foreign		China International Book Trading Corporation (Guoji
		(北京 399 信箱)			Shudian), P. O. Box 399, Beijing 100044, China

中国标准刊号: ISSN 0250-3301 CN 11-1895/X

国内邮发代号: 2-821

国内定价:90.00元

国外发行代号: M 205

国内外公开发行